

Zakład Badawczo Leczniczy Chorób Nerwowo – Mięśniowych  
Instytut Medycyny Doświadczalnej i Klinicznej PAN  
ul. Pawińskiego 5, 02-106 Warszawa  
Tel/ fax /4822/ 608 65 26

Badanie wycinka mięśniowego w mikroskopie świetlnym i elektronowym

Nr: 25/13

Imię i nazwisko :

Wiek: 12

Rozpoznanie: w kierunku Miopatii postępującej

Data pobrania wycinka: 20 V 2013r.

Mięsień: quadriceps sin.

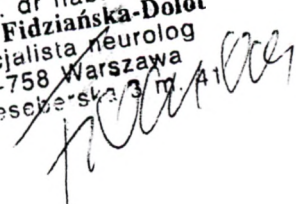
Barwienie: H-E, trichrom Gomoriego, DHB, DHM, DPNH, ATP-azy

W pobranym wycinku włókna mięśniowe różnej średnicy wymieszane nieregularnie tworzą pęczki oddzielone nieco zwiększoną ilością tkanki łącznej w endo i perimysium. Podział włókien na typy metaboliczne w enzymach oddechowych słabo zaznaczony dobrze widoczny w ATP-azach pH 9,4. Zwraca uwagę dość liczna ilość bardzo małych włókien wykazujących aktywność ATP-az wymagających oceny ultrastrukturalnej.

Wnioski: analiza ultrastrukturalna wskazuje na uszkodzenie o cechach pierwotnie mięśniowych. Ultrastruktura komórek mięśniowych o mniejszym i większym diametrze dobrze zachowana. W pojedynczych włóknach zatarcie barwliwości linii Z w obrębie sarkomerów. Poszerzenie kanałów siatki sarkoplazmatycznej.

Prof. dr hab. A. Fidziańska-Dolot

4714926 | Prof. dr hab. med.  
Anna Fidziańska-Dolot  
specjalista neurolog  
02-758 Warszawa  
ul. Neseckiej 3 m 41



Przypadek 25/13 (30/13 ME)

Rozpoznanie: w kierunku miopatii postępującej

Fig. 1,2. Włókna mięśniowe o dobrze zachowanej ultrastrukturze.

Fig. 3,4,5. W niektórych włóknach obserwuje się zatarcie barwności linii Z w obrębie sarkomerów.

Fig. 6,7,8. Widoczne poszerzone kanały siatki sarkoplazmatycznej

### Summary

A 12-year-old patient was examined towards progressive myopathy. A biopsy of quadriceps sinister was performed.

Most of the myofibers did not reveal significant changes in their ultrastructure (Fig. 1,2). In some fibers, blurring of the Z-line coloration within the sarcomeres was observed (Fig. 3,4,5). Widened sarcoplasmic reticulum channels were seen (Fig. 6,7,8). Electronmicroscopy analysis indicates primary muscular damage.



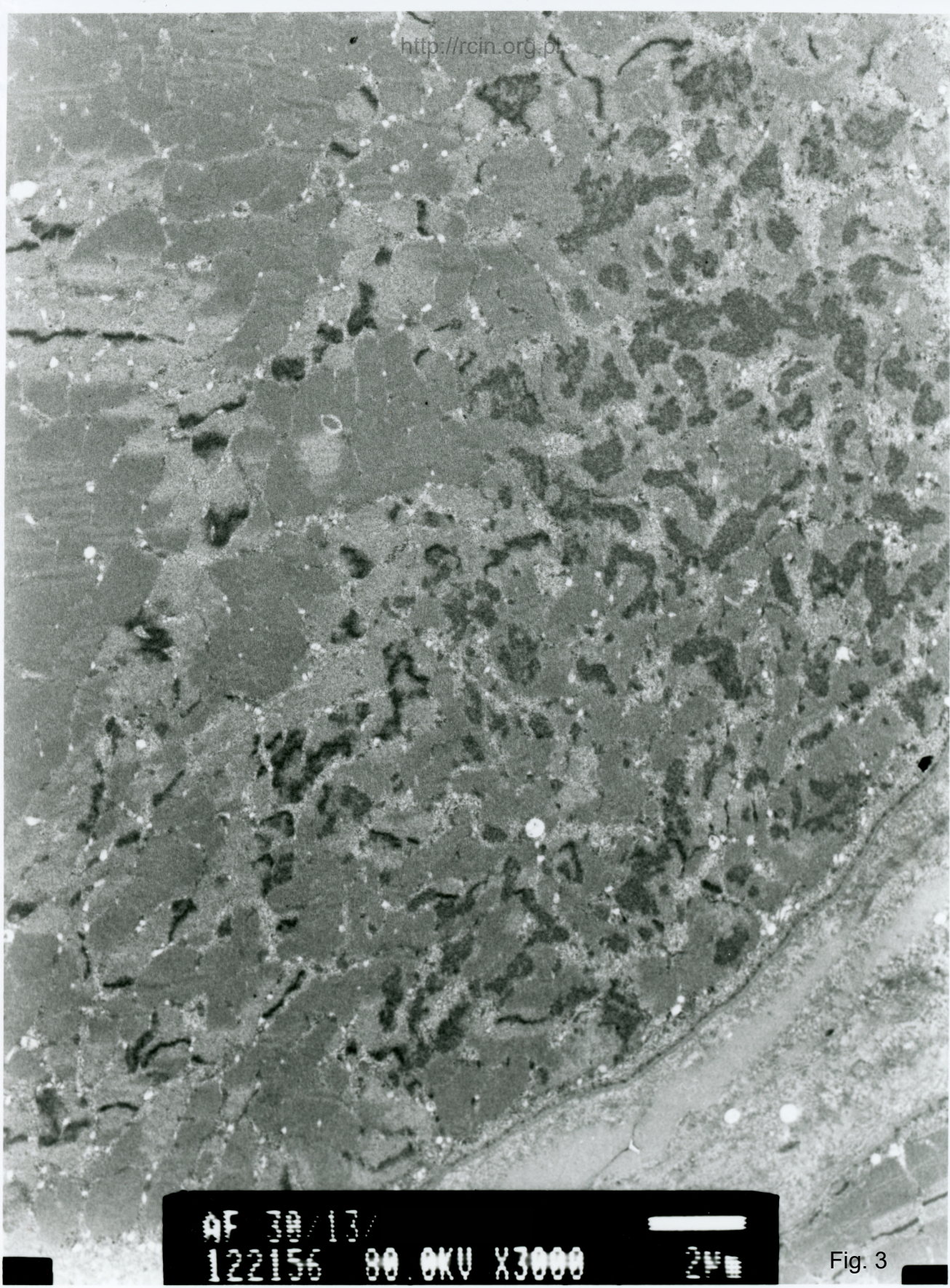
AF 30/13/ [redacted]  
122010 00-000 13000 [redacted]

Fig. 1



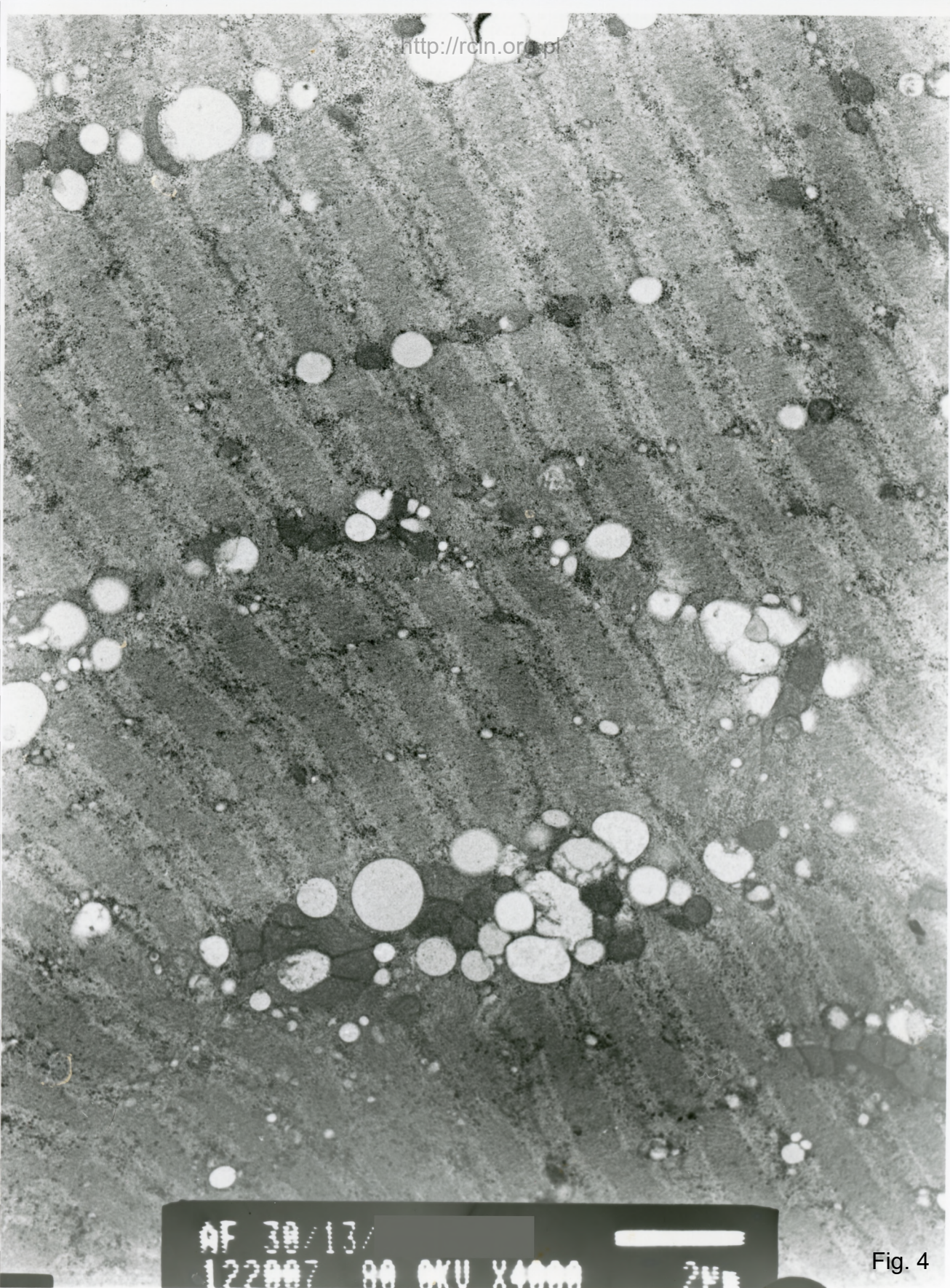
AF 30/13/  
122000 00 OKU X3000 2V

Fig. 2



AF 30/13/  
122156 80.0KV X3000 2µm

Fig. 3



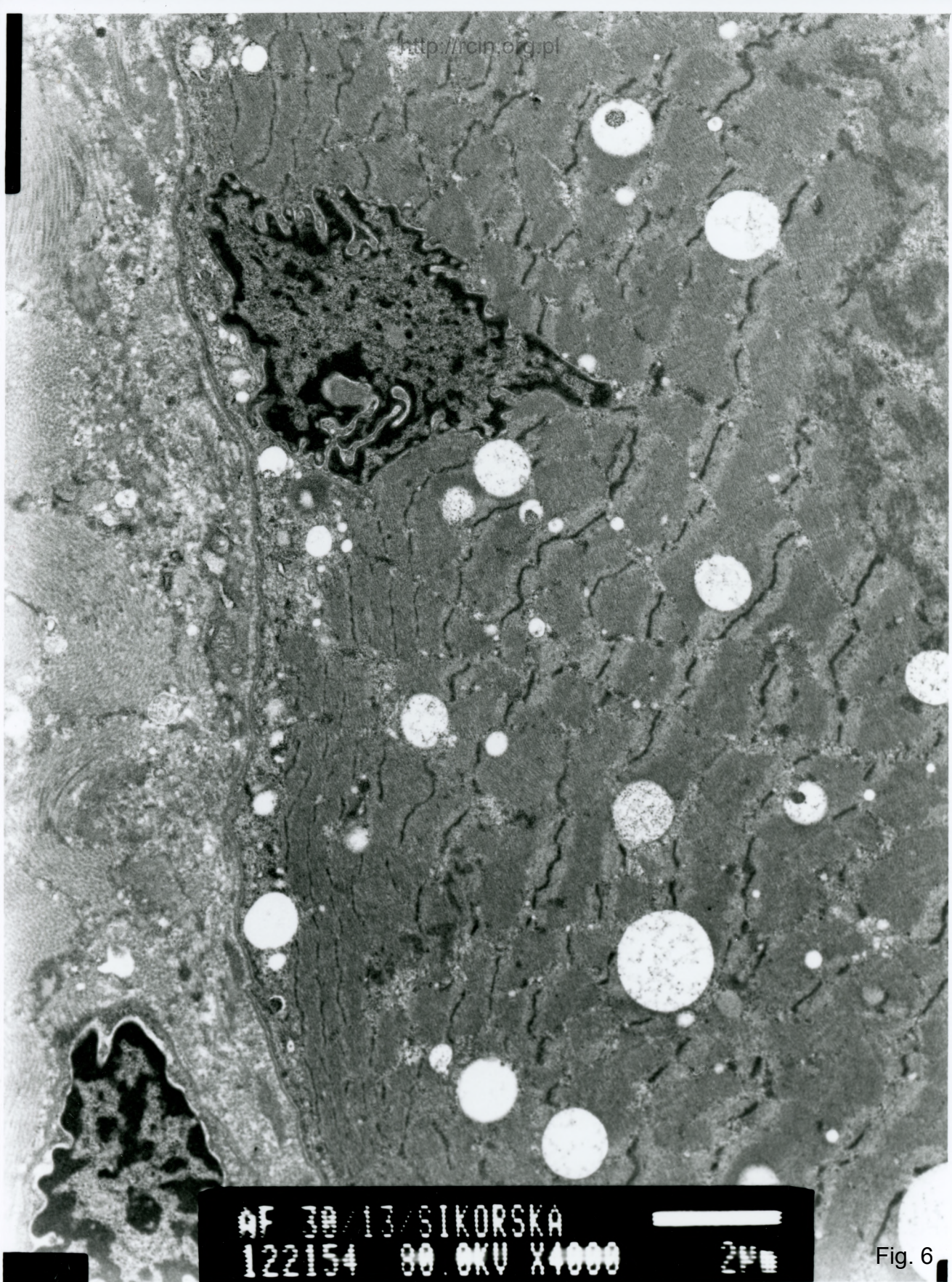
AF 30/13/  
122007 00 OKU X40000 2M

Fig. 4



AF 30/13/  
122151 00.0KV X5000 140

Fig. 5

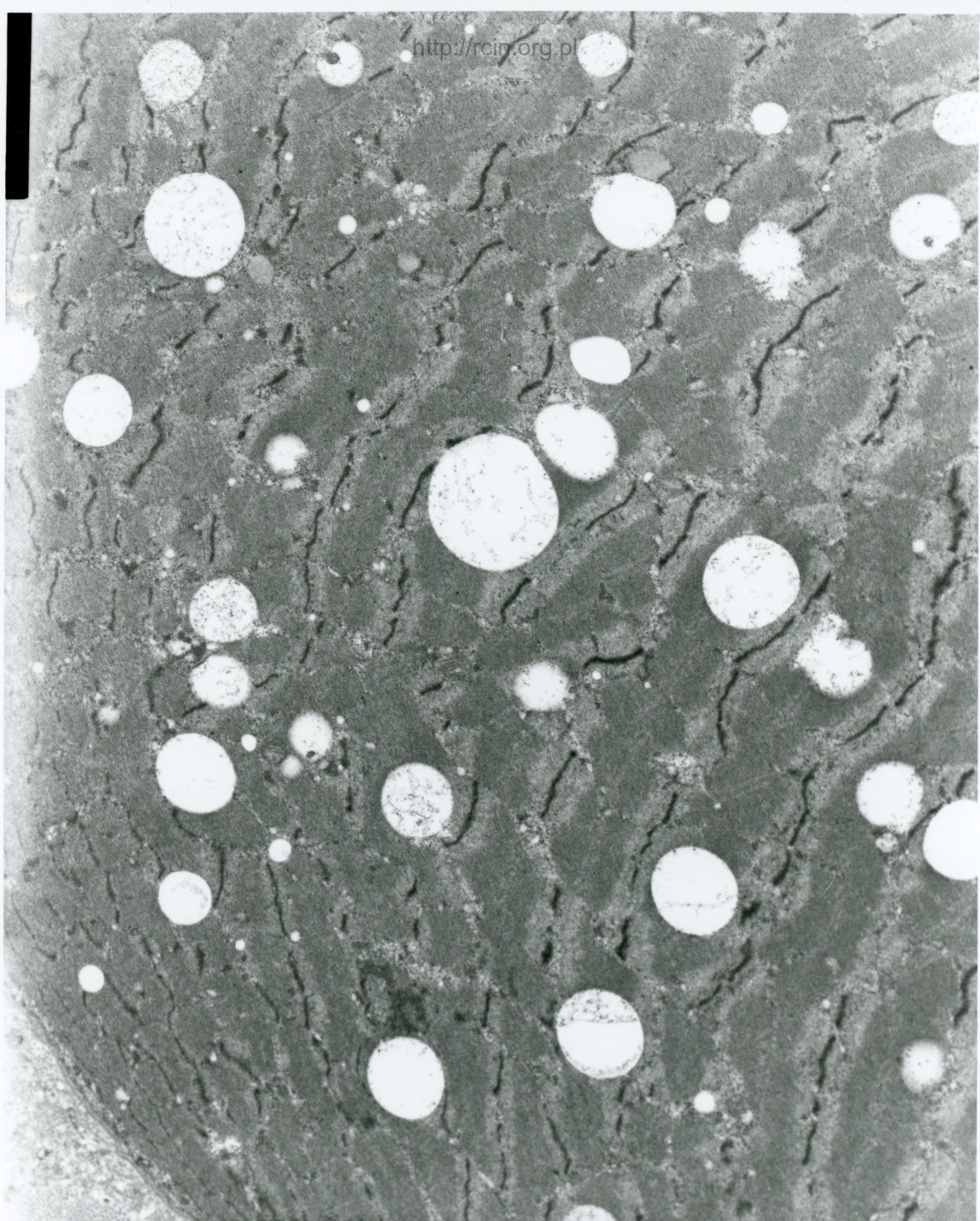


AF 30/13/SIKORSKA  
122154 80.0KV X4000

2µm

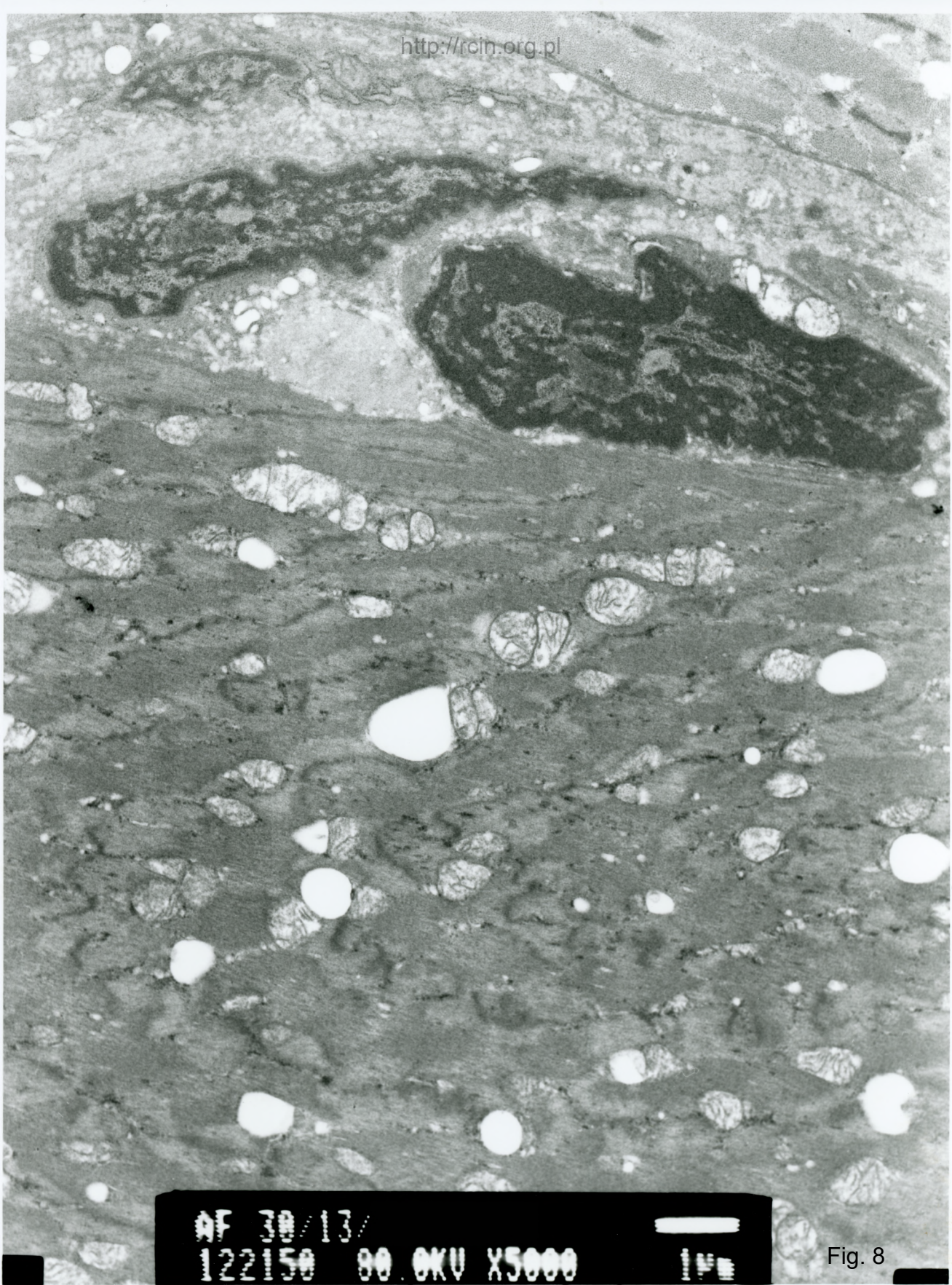
Fig. 6





AF 300/13/  
122155 80.0KV X4000 2V

Fig. 7



AF 30/13/

122150 00.0KV X5000



114

Fig. 8